

- (Томинско-Мичуринский рудный узел, Урал) // Доклады РАН. – 2002. – Т. 383. – № 5. – С. 668–671.
5. Беневольский Б.И., Зубатарева Л.И., Мишиева Н.В. Благородные металлы в комплексных рудах зарубежных месторождений. – М.: ВИЭМС, 1991. – 47 с.
 6. Орлов А.М., Борбыш В.Ф., Гедгагова Н.Н. Производство металлов платиновой группы за рубежом. – М.: ЦНИИЦВЕТМЕТ, 1975. – 64 с.
 7. Коваленкер В.А., Мызник И.К., Кочетков А.Я., Наумов В.Б. Платиноносное золото-сульфидное оруденение Рябинового щелочного массива (Центральный Алдан, Россия) // Геология рудных месторождений. – 1996. – Т. 38. – № 4. – С. 345–356.
 8. Нетрадиционная платиноидная минерализация Средней Сибири / А.М. Сазонов, О.М. Гринев, Г.И. Шведов, В.И. Сотников. – Томск: Изд. ТПУ, 1997. – 148 с.
 9. Бадалов С.Т., Терехович С.Л. Геохимия элементов платиновой группы в Алмалыкском рудном районе (УзбССР) // Доклады АН СССР. – 1966. – Т. 168. – № 6. – С. 1397–1400.
 10. Калинин С.К., Файн Э.С., Егизбаева К.Е. Стабильный изотоп осмий-187. – Алма-Ата: Наука, 1975. – 95 с.
 11. Фармазян А.С., Калинин С.К., Терехович С.Л. Особенности геохимии элементов группы платины в рудах медно-молибденовых месторождений Армении // Доклады АН СССР. – 1970. – Т. 190. – № 6. – С. 1455–1457.
 12. Тодоров Т.А. Минералы и минерализация платиновых металлов в Болгарии: состояние изученности проблем // VII Международный платиновый симпозиум: Тезисы докл. – М., 1994. – С. 111.
 13. Кунаев А.М., Калинин С.К., Ли И.Е. Распределение изотопа ^{187}Os в продуктах Джезказганского и Балхашского медеплавильных заводов // Химия и технология осмия. – Алма-Ата, 1985. – С. 195–200.
 14. Лазаренков В.Г., Петров С.В., Таловина И.В. Геохимия элементов платиновой группы. – СПб, 2001. – С. 207–212.
 15. Турсебеков А.Х., Каширский С.А. Технологическая минералогия и оценка руд в связи с комплексным освоением медно-молибденовых и других месторождений Республики Узбекистан // Тез. докл. ВМО. – СПб, 2001. – С. 104–106.
 16. Werle J.L., Izkamuddin M., Mutscheer F.E. Allard stock, La Plata Mountains, Colorado-analkaline rock-hosted porphyry copper-precious metal district // Canad. J. Earth. Sci. – 1984. – V. 21. – № 6. – P. 630–641.
 17. Tarkian M., Coopmar G. Platinum-group minerals in the Santo-Tomas II (Philex) porphyry copper-gold deposit, Luson-Island, Philippines // Mineral Deposits. – 1995. – V. 30. – P. 39–47.
 18. Колпакова Н.А., Иванов Ю.А., Коробейников А.Ф. Определение платиновых металлов в рудах и концентратах методом инверсионной вольтамперометрии // Платина России. Проблемы развития минералого-сырьевой базы платиновых металлов. – М.: АОЗТ "ГеоИнформМарк", 1995. – Т. II. – Кн. 1. – С. 181–184.
 19. Авдонин В.В. Принципы геологического-промышленной типизации рудных месторождений. – М.: ЗАО "ГеоИнформМарк", 1999. – 40 с. (Геология, методы поисков, разведки и оценки твердых полезных ископаемых: Обзор).

УДК 552.322+553.411.071

МИНЕРАЛОГО-ПЕТРОХИМИЧЕСКИЕ ЧЕРТЫ АССОЦИАЦИИ КИСЛЫХ ГИПАБИССАЛЬНЫХ ПОРОД БЕРИКУЛЬСКОГО РУДНОГО ПОЛЯ

И.В. Кучеренко

Томский политехнический университет

E-mail: lev@tpu.ru

Приведены результаты изучения минерального и химического составов кислых гипабиссальных пород Берикульского рудного поля. Установлены три вида гранитоидов: низкощелочных, нормальных, лейкоратовых гранитов. Каждый вид представлен апплитовидной, порфировидной, пегматоидной структурными разновидностями и одной биотитовой минеральной разновидностью. Все виды гранитоидов относятся к весьма высокоглиноземистым и преобладающими к калиево-натриевой петрохимической серии при эпизодическом участии пород калиевой серии. По совокупности признаков, в частности, с учетом пространственно-воздрастной близости, сходства составов плутонических гранитоидов мартайгинского времени и кислых гипабиссальных пород рудного поля сделан вывод об образовании последних в составе Мартайгинского комплекса, вероятно, на заключительных этапах его становления.

Введение

Ранее [1] было показано структурное и возрастное положение даек кислых пород Берикульского рудного поля. Они представляют автономную от более поздних основных гипабиссальных пород ассоциацию, что следует из фактов пересечения их более многочисленными хорошо раскристаллизованными дайками долеритов, в эндоконтактах или

в маломощных (до 5...20 см) телах – в полном объеме сложенными афанитовой породой. Афанитовое строение долеритов, свидетельствующее об относительно быстром застывании расплавов, зафиксировано и в участках пересечения долеритами даек кислых пород. Во вскрытом объеме рудного поля задокументировано около 300 даек основных пород и около 150 даек гранитоидов, при этом не обнару-

жено ни одного случая пересечения вторыми первых. Те и другие дайки известны в габброидах восточной и южной окраин рудного поля, а также на юго-восточной его периферии среди гранодиоритов и адамеллитов штоковидного тела в скальных обнажениях правого борта ручья Сухой Берикуль.

Все гипабиссальные кислые и основные породы, в отличие от вмещающих дайки и руды покровных вулканитов берикульской свиты, не несут признаков контактового метаморфизма (ороговикования) и контактового метасоматизма (скарнирования), но, за исключением внутри- и позднерудных даек долеритов, в контактах с золоторудными кварцевыми жилами березитизированы. Интрузивное происхождение даек доказывается морфологией вмещающих трещин (отрыва) и наличием в них обломков ороговикованных вулканитов, особенно заметных в телах гнездовой формы.

Приведенными и некоторыми другими фактами обеспечивается реконструкция последовательности геологических событий в занятом рудным полем блоке земной коры, включая процесс рудообразования.

1. Петрохимия кислых пород

В качестве предварительных замечаний отметим, во-первых, что количественный минеральный состав кислых пород одного вида, определенный в шлифах на интеграционном столике, демонстрирует значительные вариации содержаний минералов и не всегда строго согласуется с более усредненными данными химических анализов проб обычной массой 1,0...1,5 кг. Очевидно, это обусловлено существенной неравномерностью распределения мине-

ралов в объеме породы и малыми размерами шлифов. Поэтому, при диагностике классификационного положения пород целесообразно в первую очередь ориентироваться на петрохимические показатели с учетом их минерального состава.

Во-вторых, корректность петрохимических выводов зависит от степени сохранности начального химического состава пород. Все изученные дайки (111), как отмечалось, дорудные, залегают внутри рудного поля и некоторые подверглись околоврудному гидротермальному калиево-сернисто-углекислотному метасоматизму с образованием березитов. Поэтому, в соответствии с целями данной работы подбирались пробы из даек, наиболее удаленных от рудных тел и наименее измененных. Учитывалось также, что наиболее чуткий показатель степени изменений пород в этих условиях – содержание карбонатов и сульфидов, поскольку при околоврудной березитизации наиболее масштабные преобразования химического состава изверженных не содержащих карбонатов и относительно высококалиевых бессульфидных пород связаны с привносом углекислоты и серы. В таблице видно, что поступление обоих компонентов незначительно, а слабая степень изменений пород на уровне до 1...6 объемных % эпигенетических минералов фиксируется в шлифах. На петрохимической диаграмме (рис. 1) также можно видеть отсутствие тенденций в изменении химических составов пород в зависимости от содержания углекислоты – породы с разным ее содержанием представляют все семейства. Не следует ожидать и существенного удаления натрия и кремнезема, обычного для березитов, но не свойственного слабо измененным породам в обрамлении березитов. Неко-

Таблица. Химические составы кислых гипабиссальных пород Берикульского рудного поля, мас. %

Номера проб	Компоненты														al [▼]		
	SiO ₂	Al ₂ O ₃	K ₂ O	Na ₂ O	CaO	MgO	Fe ₂ O ₃	FeO	MnO	TiO ₂	P ₂ O ₅	CO ₂	S _{сульфид.}	H ₂ O ⁺	ППП	Σ	
316	68,00	16,60	2,20	3,74	3,84	0,89	0,38	2,76	0,06	0,43	0,22	0,22	0,13	1,22	–	100,69	4,12
148	68,86	15,09	3,58	2,78	3,01	1,21	1,41	2,20	0,05	0,35	0,14	0,78	0,01	1,18	–	100,65	3,13
1326	67,92	15,24	3,60	4,05	2,26	0,89	1,20	2,14	0,05	0,42	0,23	0,45	0,24	–	1,05	99,74	3,60
1330	68,08	15,78	4,00	4,23	2,26	0,81	1,31	1,86	0,09	0,39	0,20	0,58	0,14	–	0,61	100,34	3,96
223	69,60	16,60	2,85	4,40	2,25	0,81	0,88	1,80	0,09	0,20	0,07	0,00	0,00	1,36	–	100,91	4,76
317	69,75	14,65	3,75	4,10	1,81	0,60	0,99	1,66	0,05	0,24	0,07	0,76	0,00	1,04	–	99,47	4,51
218	70,00	15,00	1,80	4,75	3,66	0,40	1,15	0,69	0,04	0,20	0,46	0,31	0,00	0,92	–	99,38	6,70
278	71,50	13,21	5,50	2,70	2,69	0,48	0,00	1,93	0,06	0,27	0,15	1,42	0,08	0,62	–	100,61	5,48
48	71,77	13,94	6,25	1,68	1,96	0,62	0,55	1,59	0,05	0,28	0,07	0,18	0,01	0,58	–	99,53	5,05
154	71,82	12,96	5,80	2,00	2,96	0,30	1,02	1,04	0,03	0,14	0,03	0,40	0,07	0,92	–	99,49	5,49
107	71,82	13,58	3,30	4,50	1,41	1,02	0,70	2,02	0,05	0,20	0,40	1,12	0,06	0,20	–	100,38	3,63
256	72,96	13,67	3,73	3,48	0,15	1,53	0,72	0,65	0,03	0,90	0,00	1,05	0,02	0,70	–	99,59	4,71
274	73,17	14,70	3,88	3,70	1,65	0,32	0,31	1,02	0,05	0,15	0,08	0,07	0,02	0,82	–	99,94	8,91
1327	73,71	12,91	4,60	3,58	1,47	0,24	1,52	1,14	0,04	0,14	0,07	0,67	0,04	–	0,10	100,23	4,45
276	74,00	14,28	4,56	3,65	1,55	0,16	0,30	1,11	0,05	0,20	0,01	0,08	0,06	0,86	–	100,87	9,09
639	74,16	13,70	4,14	3,66	1,18	0,25	0,32	2,31	0,05	0,17	0,00	0,36	0,03	0,00	–	100,33	4,78
630	74,69	13,63	4,15	3,12	1,10	0,50	2,08	0,41	0,09	0,17	0,03	0,25	0,00	0,00	–	100,22	4,56
635	75,13	12,82	4,65	3,12	0,69	0,30	1,12	1,35	0,04	0,15	0,05	0,00	0,01	0,00	–	99,43	4,63
272	75,90	12,67	4,46	3,50	1,14	0,24	0,00	1,24	0,05	0,12	0,12	0,62	0,03	0,43	–	100,52	8,56
41	75,89	12,33	3,27	3,72	1,20	0,78	0,56	0,89	0,05	0,20	0,07	0,81	0,01	0,42	–	100,20	5,53

Примечания:

1) Пробы 316, 148 – аплитовидные низкощелочные граниты; пробы 1326, 1330, 223, 317, 278, 48, 154, 107, 256 – аплитовидные граниты; пробы 274, 1327, 276, 639, 630, 635, 272 – аплитовидные лейкограниты; проба 218 – пегматоидный низкощелочный гранит; проба 41 – пегматоидный лейкогранит.

2) – не определялось.

3) al[▼] – коэффициент глиноземистости.

4) Полные химические анализы пород выполнены в Центральной лаборатории Западно-Сибирского геологического управления МГиОН РСФСР под руководством И.А. Дубровской

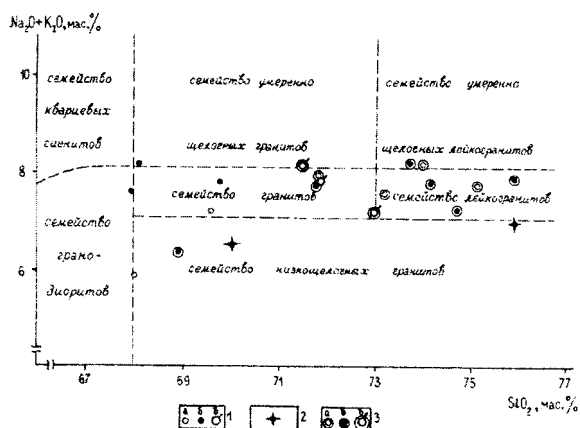


Рис. 1. Химические составы кислых пород даек Берикульского рудного поля в координатах SiO_2 – ($\text{Na}_2\text{O} + \text{K}_2\text{O}$).
1) фигуративные точки химических составов аплито-видных гранитов и лейкогранитов с содержанием CO_2 менее 0,25 % (а), 0,25...1,0 % (б), более 1,0 % (в); 2) – пегматоидных низкощелочных гранитов и лейкогранитов; 3) фигуративные точки химических составов аплито-видных гранитов и лейкогранитов с преобладанием калия над натрием. Границы значений петрохимических параметров заимствованы из [2]

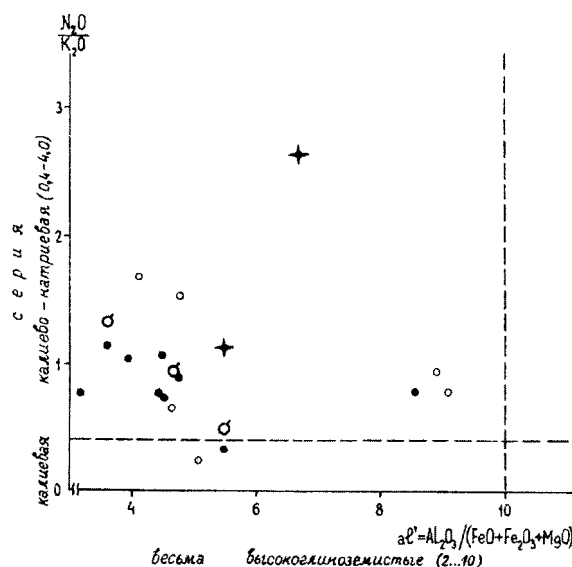


Рис. 2. Химические составы кислых пород даек Берикульского рудного поля в координатах $\text{al}' = \text{Al}_2\text{O}_3 / (\text{FeO} + \text{Fe}_2\text{O}_3 + \text{MgO}) - \text{Na}_2\text{O} / \text{K}_2\text{O}$. Условные обозначения см. на рис. 1

торые тела сложены совершенно свежей породой (пробы №№ 223, 274, 276, 635, таблица), и они также представляют разные семейства (рис. 1). На основании приведенных фактов и соображений представляется справедливым заключение о соответствии в определяющих выводах чертах используемых результатов химических анализов первичному составу пород.

В третьих, породы всех изученных даек несут признаки сходства. Для них свойственна мелкозернистая, разнозернистая, нередко порфировидная

структуря, массивная текстура с элементами такситовой, внешне выраженной слабо и обусловленной неравномерным, пятнообразным и/или неясно полосчатым распределением в одной дайке пород с варьирующими соотношениями количества типоморфных минералов. Породы каждого семейства светло-серые, серые, розово-серые, розовые, имеют аплитовидный облик. Цвет пород изменяется нередко в пределах одной дайки, что согласуется с неравномерным распределением розовых щелочных и серых, светло-серых известково-щелочных полевых шпатов. Все перечисленные признаки следует иметь в виду, но из дальнейшего употребления представляется целесообразным исключить во избежание многочисленных повторений, ограничившись указанием вида породы и ее петрохимической индивидуальности.

Исключение составит достаточно редкая пегматоидного облика порода, которая иногда занимает небольшие объемы в гнездообразных телах аплито-видных гранитоидов, имеет с последними постепенные переходы, а минералого-химический состав ее соответствует таковому заполняющей тело аплито-видной породы (рис. 1). Очевидно, здесь мы имеем дело со структурными разновидностями гранитоидов.

Дайковые кислые породы рудного поля представляют три семейства и, соответственно, три вида: низкощелочных гранитов с пегматоидной разновидностью, гранитов и лейкогранитов с разновидностью пегматоидных лейкогранитов в области перехода к низкощелочным гранитам (рис. 1). Можно предполагать существование пегматоидных гранитов, однако они не были обнаружены. Поздняя из выявленных двух генерация даек гранитоидов представлена более лейкократовой породой.

Породы перечисленных видов относятся к весьма высокоглиноземистым, а несколько даек лейкогранитов обособляются от других наиболее высоким (около 9) коэффициентом глиноземистости (рис. 2). Вместе с тем, большинство пород принадлежит к калиево-натриевой петрохимической серии, лишь в двух пробах (№№ 48, 154) из всего массива – к калиевой.

2. Минеральный состав кислых пород

В породах каждого вида минеральный состав содержит признаки межвидового сходства и различий. Последние, в основном, касаются особенностей состава полевых шпатов, количественных соотношений полевых шпатов и кварца, содержания темноцветного минерала. В остальном породы сходны, в связи с чем целесообразно во избежание повторений дать сводное описание минерального состава, подчеркивая особенности, свойственные каждому виду.

Совокупность типоморфных минералов всех пород включает кварц, известково-щелочные и щелочные полевые шпаты. Статус существенного иногда, прежде всего в низкощелочных гранитах,

приобретает биотит, содержание которого достигает в них 10 %, оставаясь в гранитах на уровне 0...2 %, а в лейкогранитах опускаясь до 0...1 %. В качестве редчайших микровключений (десятые доли мм) в низкощелочных гранитах и гранитах обнаружены авгит и обыкновенная роговая обманка. Набор акцессориев включает апатит, циркон, магнетит, сфен в форме редких мелких вкрапленников. К эпигенетическим относятся серицит, кальцит, хлорит (преобладают), эпидот, рутил, лейкоксен, магнетит, пирит.

Кварц, полевые шпаты и биотит присутствуют в двух формах, представляющих, по-видимому, два этапа кристаллизации расплавов: крупных, до 1...3 мм, в редких порфировых выделениях – до 5 мм, в пегматоидных разновидностях – до 20 мм, и агрегатов мелких (сотые-десяти доли мм) кристаллов и зерен.

Идиоморфные таблитчатые и более или менее изометричные кристаллы плагиоклазов в реакционном срастании с замещающими их ксеноморфными зернами щелочных полевых шпатов и кварца определяют гипидиоморфнозернистую структуру пород. Характерные включения кварца в кристаллах щелочных полевых шпатов и в межзерновом пространстве придают породам, особенно в пегматоидных разностях, также элементы пегматитовой (письменной) структуры.

Содержание плагиоклазов, не считая альбита в перититовых вростках щелочного полевого шпата, по данным подсчетов на интеграционном столике в низкощелочных гранитах изменяется в пределах 30...35 %, иногда снижается до 25 %, в гранитах – в пределах 20...30 %, в лейкогранитах – в пределах 15...30 %. Кристаллы нередко зональны: в ядрах кристаллов в низкощелочных гранитах состав их отвечает андезину (An_{35-45}), в гранитах – кислому андезину (An_{30-40}), в периферийных зонах в обеих породах – олигоклазу при широких вариациях. В лейкогранитах зональных кристаллов не замечено, но крупные кристаллы I этапа кристаллизации имеют более основной состав вплоть до основного олигоклаза, а мелкие кристаллы II этапа представлены кислым олигоклазом. В незональных кристаллах мы имеем дело в низкощелочных гранитах с основным олигоклазом – кислым андезином, в гранитах и лейкогранитах – с олигоклазом (An_{15-30}). Плагиоклазы обычно слабо замещены серицитом на уровне редкой, иногда существенной вкрапленности, содержат мельчайшие включения кальцита.

Щелочные полевые шпаты, как правило, количественно преобладают над плагиоклазами, лишь в низкощелочных гранитах несколько уступая им. Содержания их по отдельным замерам достигают 40...45 %. В составе щелочных полевых шпатов участвуют ортоклаз и решетчатый микроклин; первый в разной степени, в том числе существенно, пелитизирован.

Заметно преобладает ортоклаз, в крупных зернах, как правило, насыщенный (до 20...30 %) пер-

итовыми вростками альбита нитевидной, чечевицеобразной, неправильно линзовидной форм. Содержит мелкие вростки таблитчатого плагиоклаза с коррозионными очертаниями, в свою очередь замещаются мелкими зернами ксеноморфного кварца в агрегатах.

Кварц обнаруживает значительные вариации в содержании, которые укладываются в интервал 21...40 %. Количество его увеличивается от низкощелочных гранитов к лейкогранитам. В крупных зернах наряду с ксеноморфизмом ему свойственные кристаллографические ограничения и срастания с другими минералами по прямолинейным границам. Содержит пойкилитовые включения плагиоклазов, ортоклаза, биотита. Мелкие зерна имеют сложные ограничения с взаимопроникновением одних в другие, реакционные соотношения с другими минералами.

Бурый биотит в крупных и мелких чешуйках, часто изогнутых, определяет принадлежность к биотитовой разновидности всех трех видов гранитов. Он либо свежий, либо замещен вдоль спайности бледно-зеленым хлоритом частично, иногда полностью. Кроме хлорита, в составе продуктов замещения образованы кальцит, эпидот, рутил, лейкоксен, магнетит, пирит, серицит. Последний в крупных чешуйках разрастается до мусковита – конечного продукта замещения, очищаясь от перечисленных минералов, которые скапливаются по периферии его чешуек или вдоль направлений спайности.

Заключение

Таким образом, по минералого-химическому составу кислые гипабиссальные породы Берикульского рудного поля, наиболее ранние из послеплутонических магматических производных, представлены тремя видами: низкощелочных, нормальных, лейкократовых гранитов с аPLITОВИДНОЙ, порфировидной и пегматоидной структурными разновидностями в каждом семействе. Вместе с тем, по составу существенного (второстепенного) темноцветного минерала все они принадлежат к биотитовой разновидности, редко авгит- или амфиболсодержащей. Важнейшие петрохимические параметры их, – коэффициент лейкократовости, Na/K – отношение, обычны для гранитоидов каждого вида. Видовое разнообразие пород, вероятно, обусловлено эволюционным развитием магматизма в направлении увеличения кремнекислотности поздних расплавов, уменьшения их известковистости и магнезиальности.

Обсуждаемые гипабиссальные породы образованы в возрастном интервале между становлением plutонов Мартайгинского комплекса (Центрально-го, Солгонского, Дудетского) и формированием мезотермального золотого оруденения в объеме Центрального, Комсомольского, Берикульского и других рудных полей. Как было показано [1], по меркам длительности геологических событий возраст тех и других близок. Отсюда должен следовать вы-

вод о незначительном перерыве или отсутствии такого при образовании плутонических и гипабиссальных пород, близких по видовому составу, сходных по схеме эволюции составов от более мезократовых к более лейкократовым, что вообще свойственно гранитоидным магматическим комплексам.

С учетом приведенных фактов представляется

наиболее вероятным образование ассоциации ранних кислых даек рудного поля как производных заключительных фаз функционирования глубинных гранитоидных очагов мартайгинского времени и, следовательно, принадлежность этой ассоциации к Мартайгинскому комплексу.

СПИСОК ЛИТЕРАТУРЫ

1. Кучеренко И.В. Малые интрузии Берикульского рудного поля (Кузнецкий Алатау) // Известия Томского политехнического университета. – 2003. – Т. 306. – № 4. – С. 28–33.
2. Магматические горные породы. Классификация, номенклатура, петрография. Часть I / Е.Д. Андреева, В.А. Баскина, О.А. Богатиков и др. – М.: Наука, 1985. – 367 с.

УДК 550.831.05(571.1)

СТАТИСТИЧЕСКАЯ ПАРАМЕТРИЗАЦИЯ СИММЕТРИЧНЫХ ГЕОФИЗИЧЕСКИХ ОБЪЕКТОВ

В.Н. Устинова, И.Г. Устинова

Томский государственный университет
E-mail: ustanova@ggf.tsu.ru

В строении и иерархической согласованности дискретных геолого-геофизических объектов выявляется определённая закономерность и упорядоченность в их размерах. Она обнаруживается в форме структур, в их пространственном расположении и временном следовании. Повторяемость форм проявляется и достаточно легко типизируется в морфологии поверхностей и морфологических сочетаниях геофизических полей. Математическая идентификация типового облика структур эффективно выполняется с использованием автокорреляционного анализа и фильтров Винера.

Геолого-геофизические объекты на любом из изучаемых уровней организации есть система систем и могут рассматриваться как упорядоченное множество дискретных элементов [1–3]. Любая геолого-геофизическая моносистема представима как двух, трёх и более компонентная с эмерджентными свойствами. В вертикальном разрезе дискретность и вложенность геолого-геофизических систем обнаруживается в наличии разнорядковых циклитов [4]. На поверхности земных оболочек она проявляется в мозаичной, но закономерно построенной совокупности геологических объектов [5]. Дискретность оболочных объектов имеет прямоугольную симметрию [6, 7], которая осуществляется через систему ортогональных трещин; либо – квазиконцентрическую [8, 9], связанную со структурами центрального типа. Прямоугольные и концентрические блоки структурно согласованы и являются составными частями дискретно-иерархической [10] блоковой системы.

Важественно-структурные комплексы осадочных нефтегазоносных бассейнов, формирующиеся в длительной истории геологического развития, имеют ряд устойчивых форм пространственно-морфологического проявления, в близких морфологических конфигурациях обнаруживаются в геофизических полях. Типовые морфологические сочетания в нефтяной геофизике достаточно надёжно выявляются в палеоповерхностях, строящихся по сейс-

мическим данным, картах геофизических параметров (структурные карты, карты энергий отражений и др.).

Устойчивые морфологические типы рельефа и потенциальных полей характеризуются: кольцевым; вихревым; спиральным; симметрично-сигмоидным [11] (взаимодополняемым по положительным и отрицательным формам); двух-, трёх-, четырёх-, семилучевым сочленением [5] и т.д. основных элементов морфологии.

Для выявления и истолкования аномалий центрально-зонального типа могут использоваться различные методы. Среди них, в силу наличия типических сочетаний аномальных проявлений, наиболее эффективны вероятностно-статистические методы, методы классификации и др.

В рамках эргодичной и стационарной модели анализируемого поля (будь то геофизическое поле или рельеф поверхности) важные сведения о свойствах аномалий можно получить по автокорреляционной функции (АКФ), энергетическому спектру, математическому ожиданию. Наиболее информативными для оценки свойств составляющих потенциальных полей и полей сейсмических параметров являются функция автокорреляции и энергетический спектр. Среди параметров автокорреляционной функции, характеризующих форму и поперечные размеры изучаемых объектов, выделяются дисперсия, радиус нулевой корреляции [12] и др. Радиус